

図 21 タルトレット型の低分子条件Py-GC/MS/トータルイオンクロマトグラム

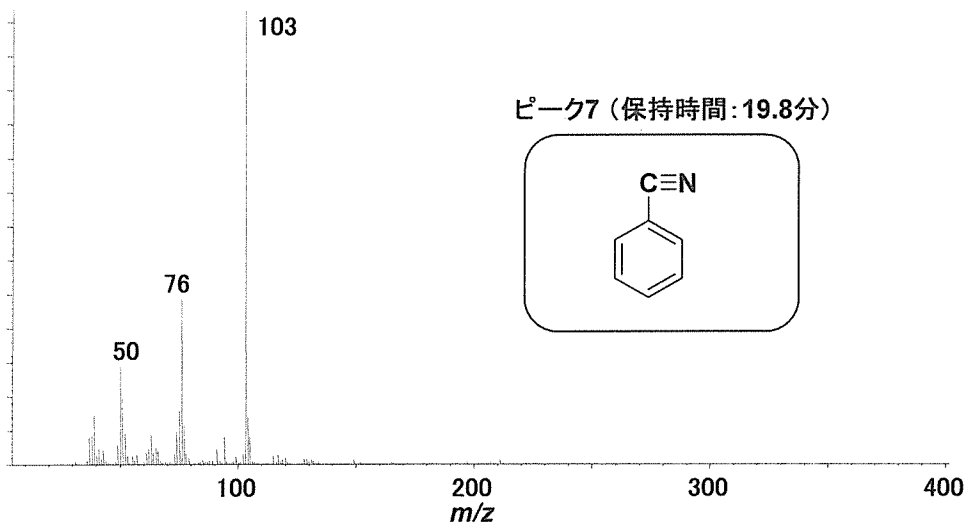


図 21a ベンゾニトリルのマススペクトル

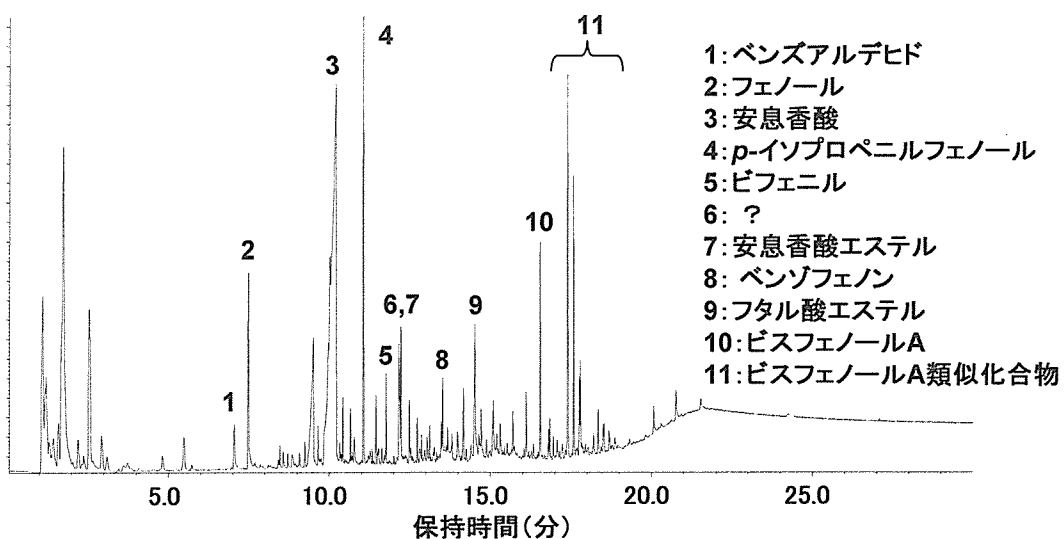


図 22 目玉焼型1のPy-GC/MS/トータルイオンクロマトグラム

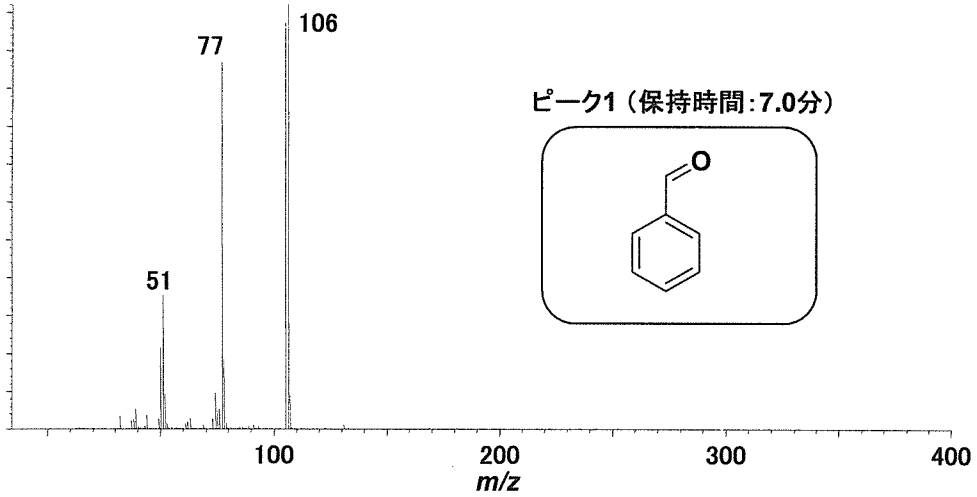


図 22a ベンズアルデヒドのマススペクトル

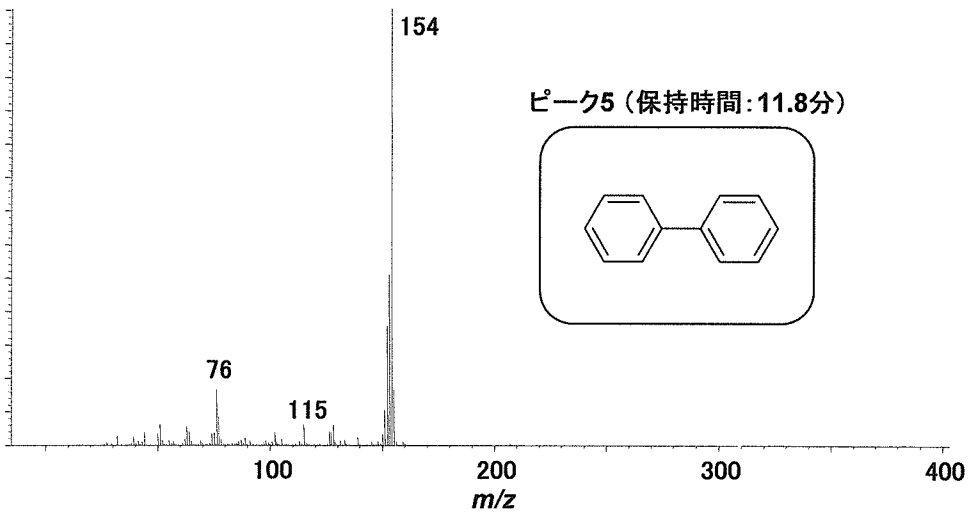


図 22b ビフェニルのマススペクトル

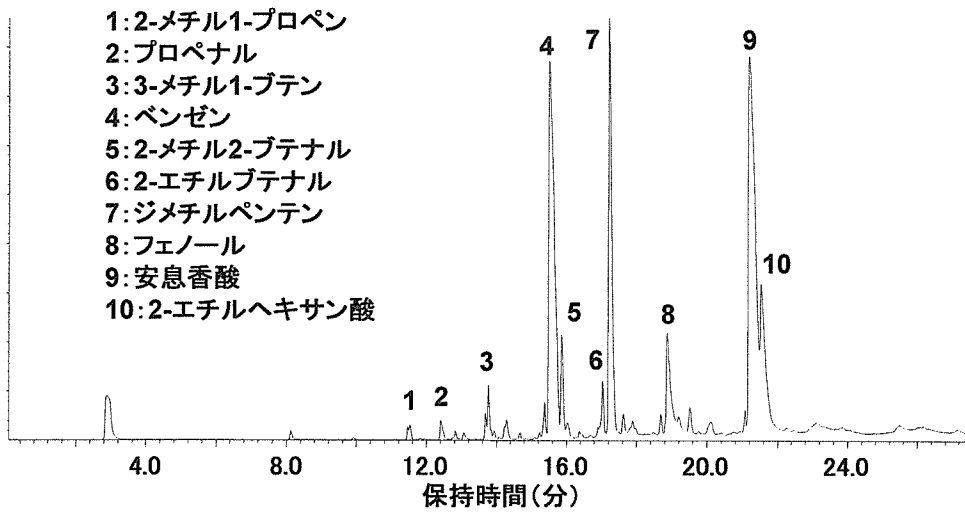


図 23 目玉焼型1の低分子条件Py-GC/MS/トータルイオンクロマトグラム

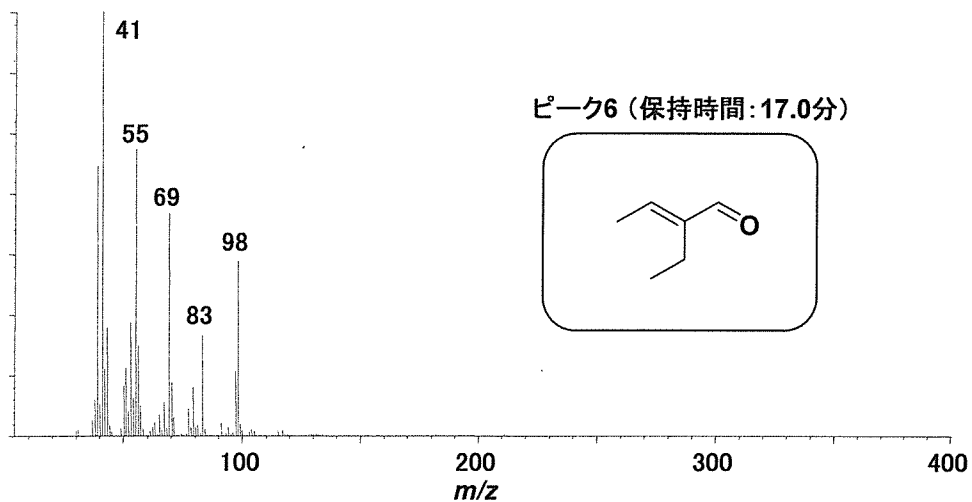


図 23a 2-エチルブテナルのマススペクトル

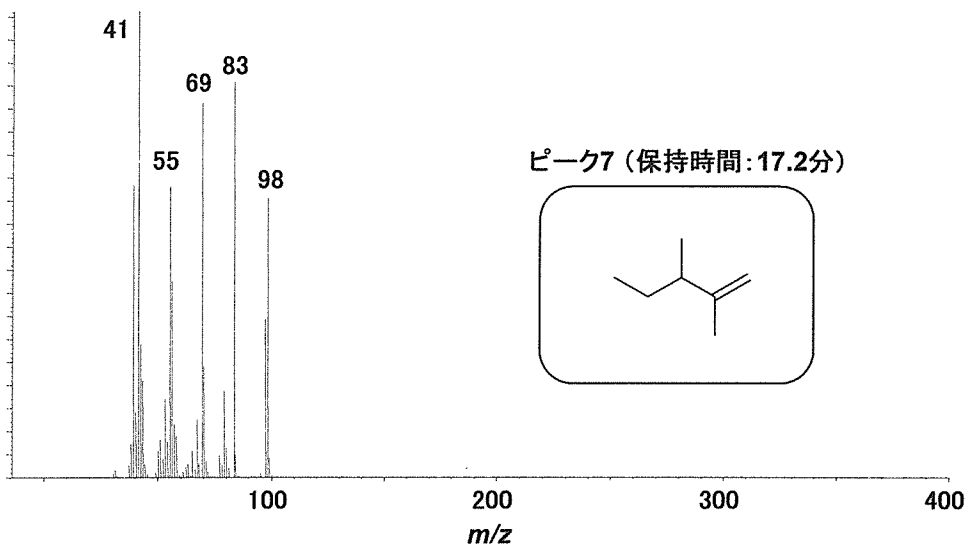


図 23b ジメチルペンテンのマススペクトル

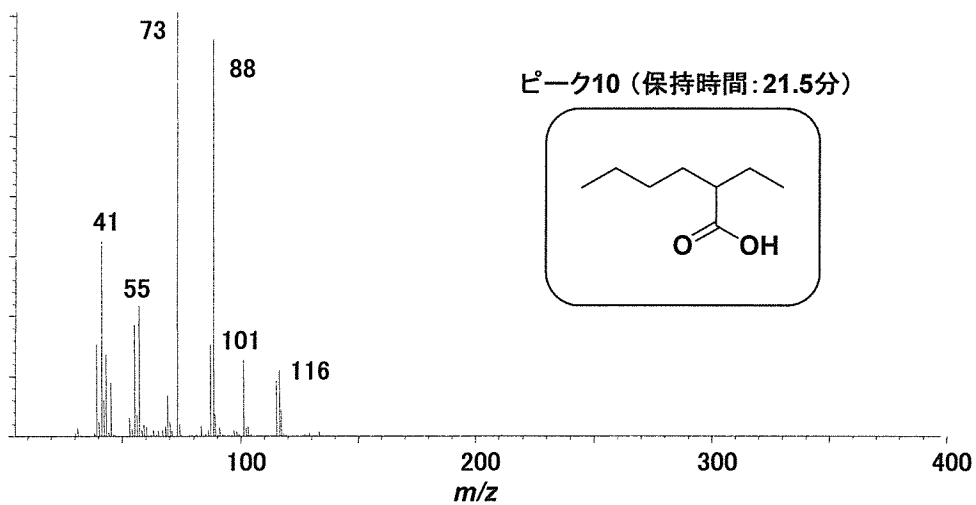


図 23c 2-エチルヘキサン酸のマススペクトル

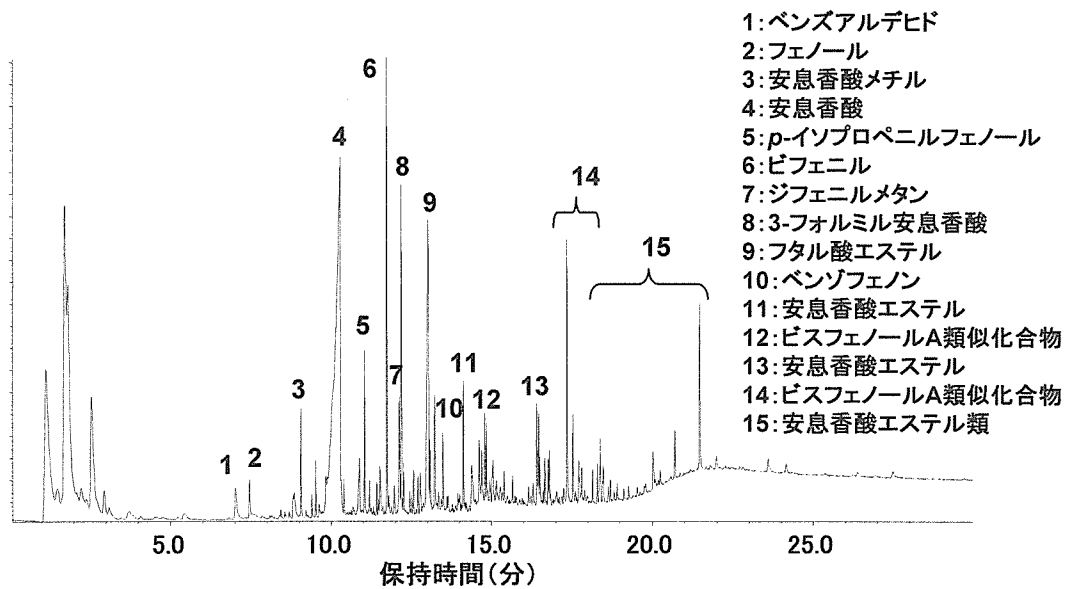


図 24 ドーナツレードルのPy-GC/MS/トータルイオンクロマトグラム

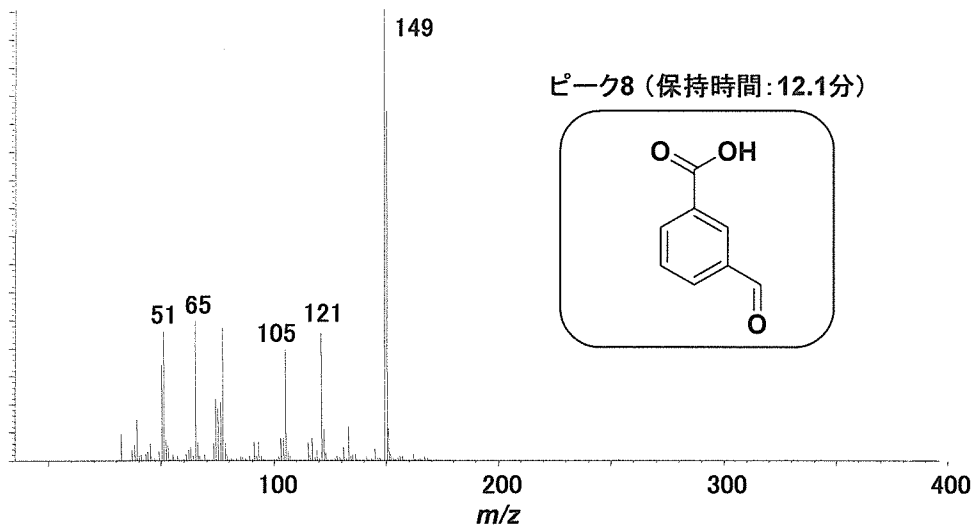


図 24a 3-フォルミル安息香酸のマススペクトル

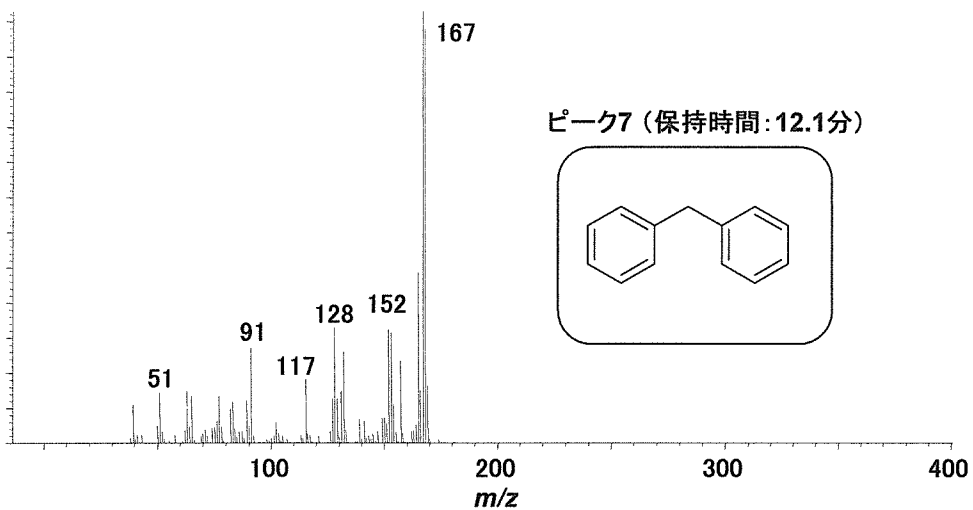


図 24b ジフェニルメタンのマススペクトル

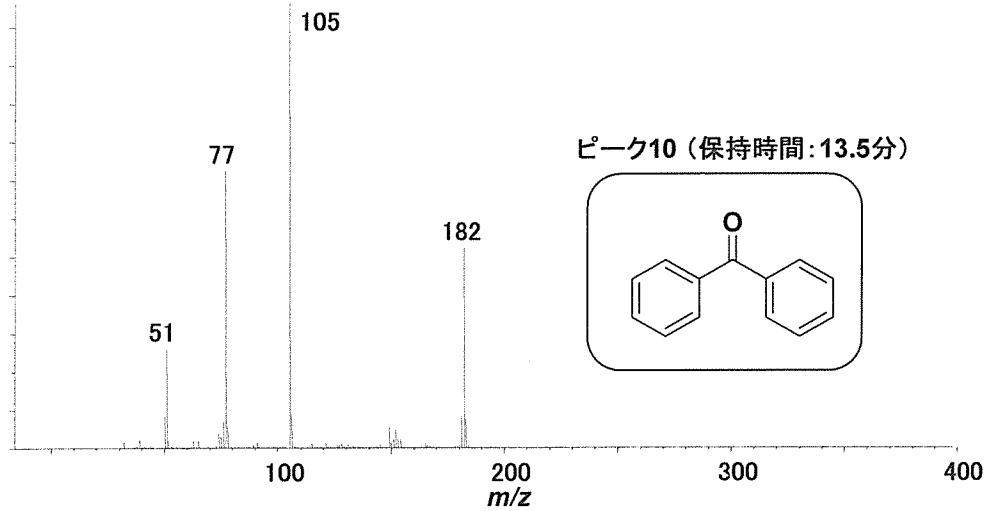


図 24c ベンゾフェノンのマススペクトル

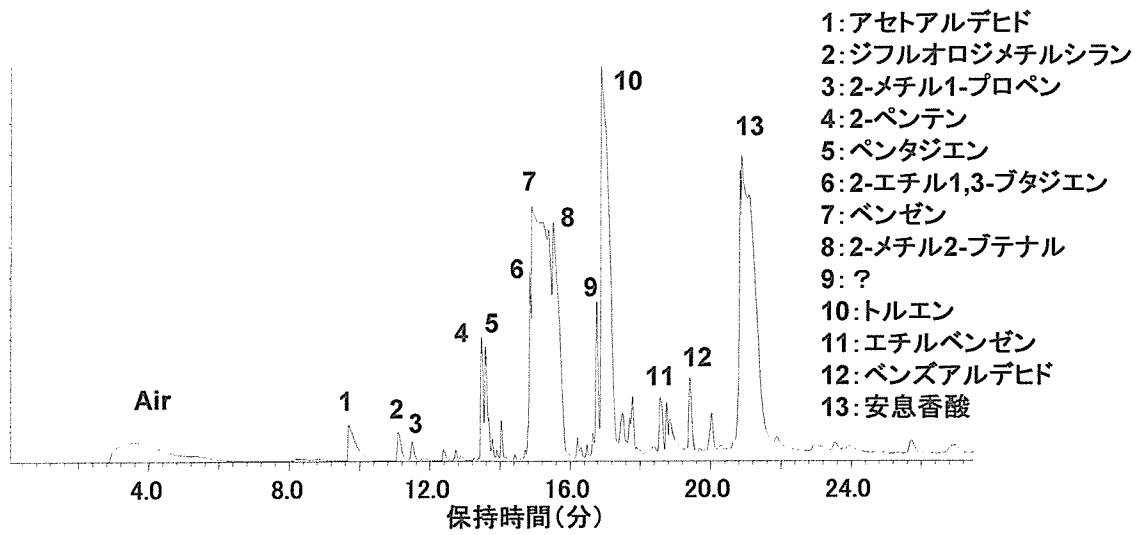


図 25 ドーナツロールの低分子条件Py-GC/MS/トータルイオンクロマトグラム

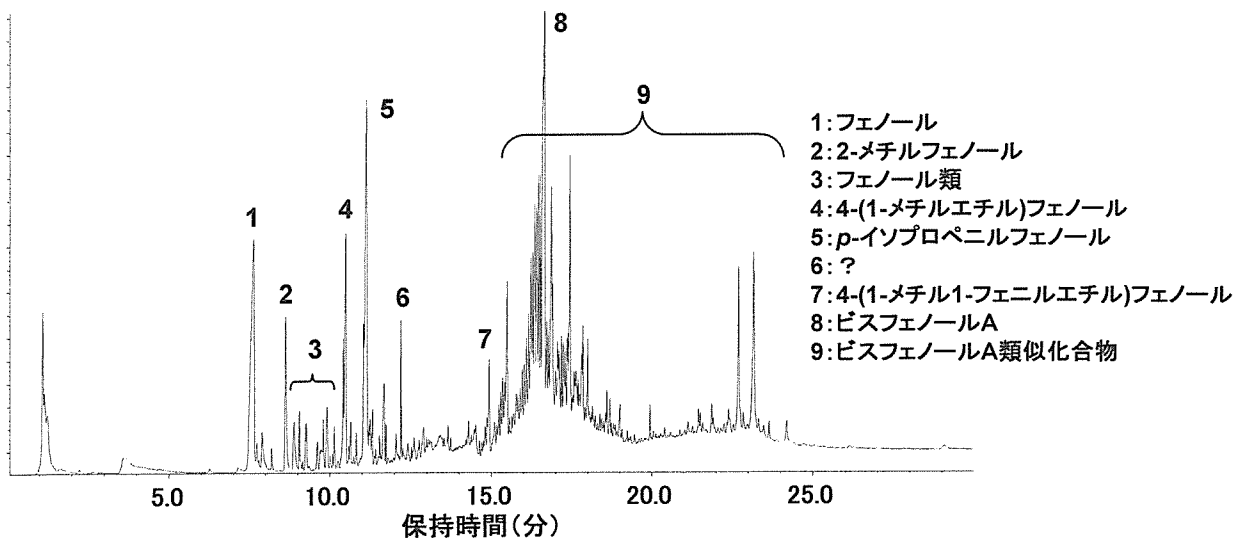


図 26 パイ焼型のPy-GC/MS/トータルイオンクロマトグラム

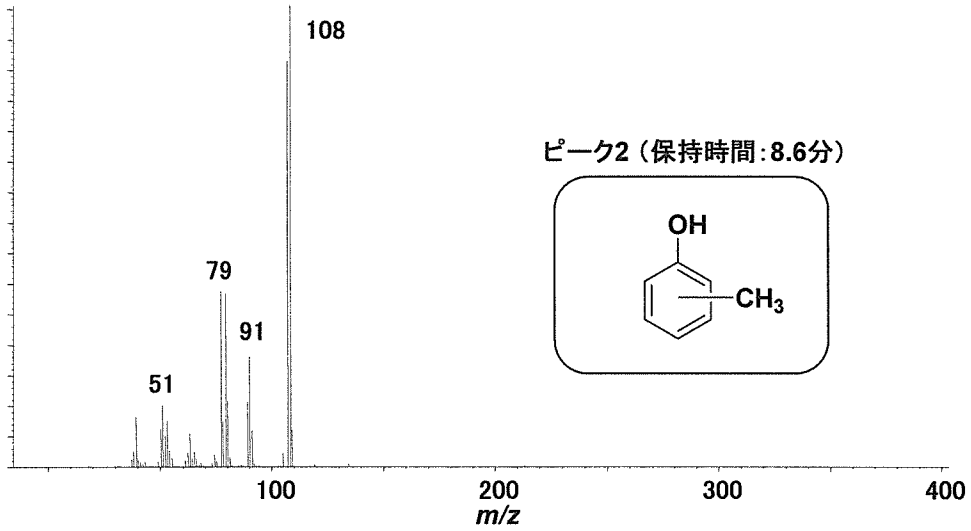


図 26a 2-メチルフェノールのマススペクトル

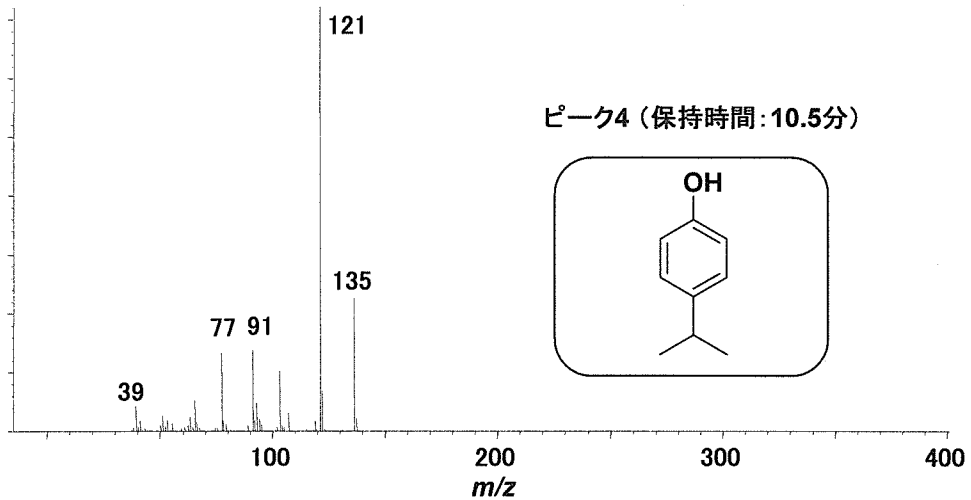


図 26b 4-(1-メチルエチル)フェノールのマススペクトル

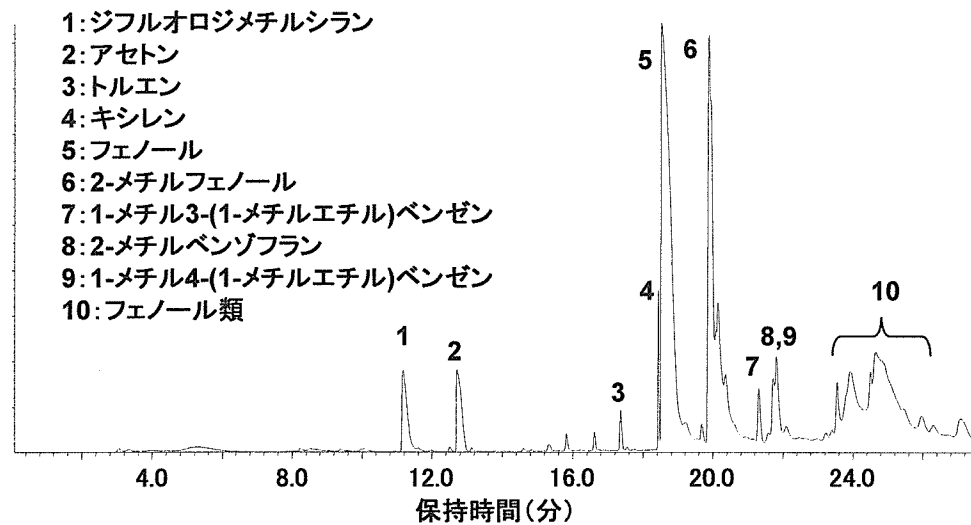


図 27 パイ焼型の低分子条件Py-GC/MS/トータルイオンクロマトグラム

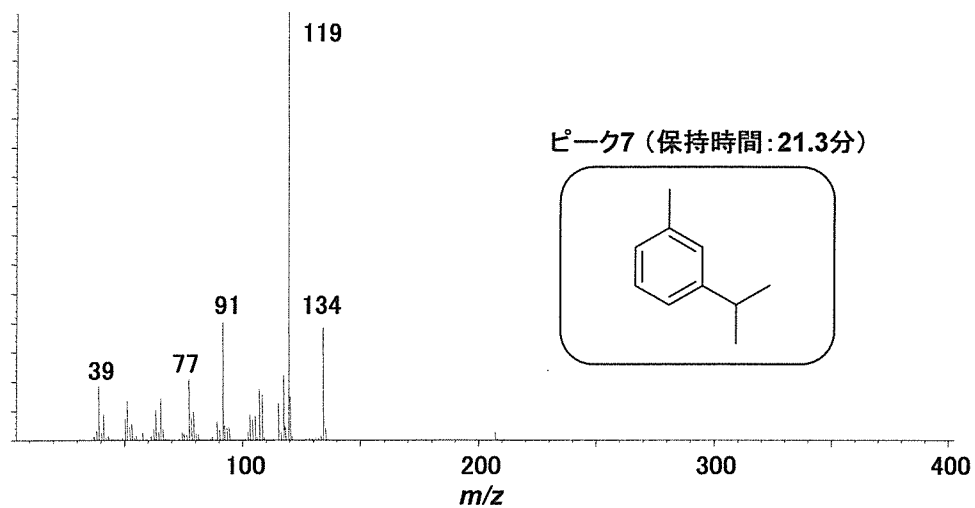


図 27a 1-メチル3-(1-メチルエチル)ベンゼンのマススペクトル

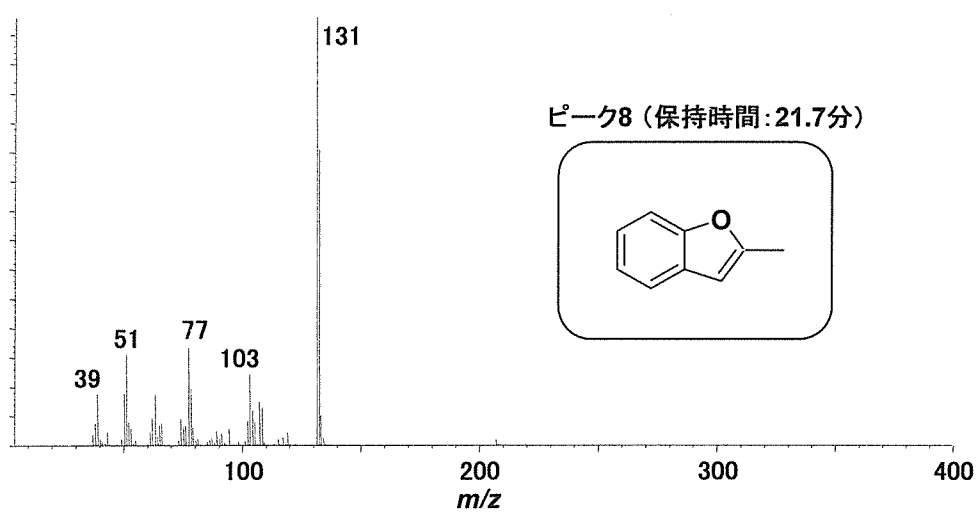


図 27b 2-メチルベンゾフランのマススペクトル

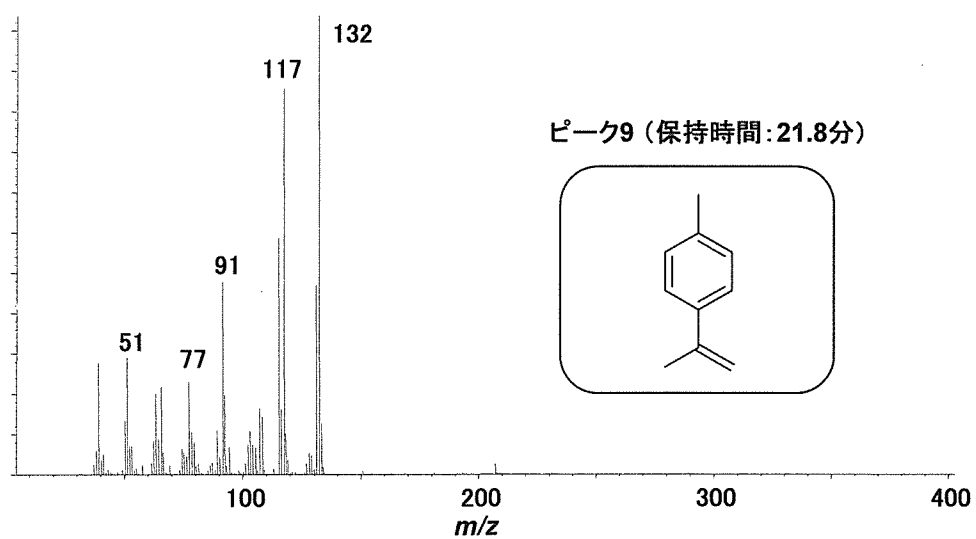


図 27c 1-メチル4-(1-メチルエチル)ベンゼンのマススペクトル

- 1: フェノール
- 2: 安息香酸
- 3: *p*-イソプロペニルフェノール
- 4: 4,5-ジヒドロ2-フェニルオキサゾール
- 5: フタリミド
- 6: ?
- 7: パルミチン酸
- 8: 1,1'-メチレンビス(4-イソシアネート)ベンゼン
- 9: オレイン酸
- 10: 4,4'-メチレンビス(N,N-ジメチルアニリン)
- 11: 4,4'-メチレンビス(N,N-ジメチルアニリン)類似化合物
- 12: ?

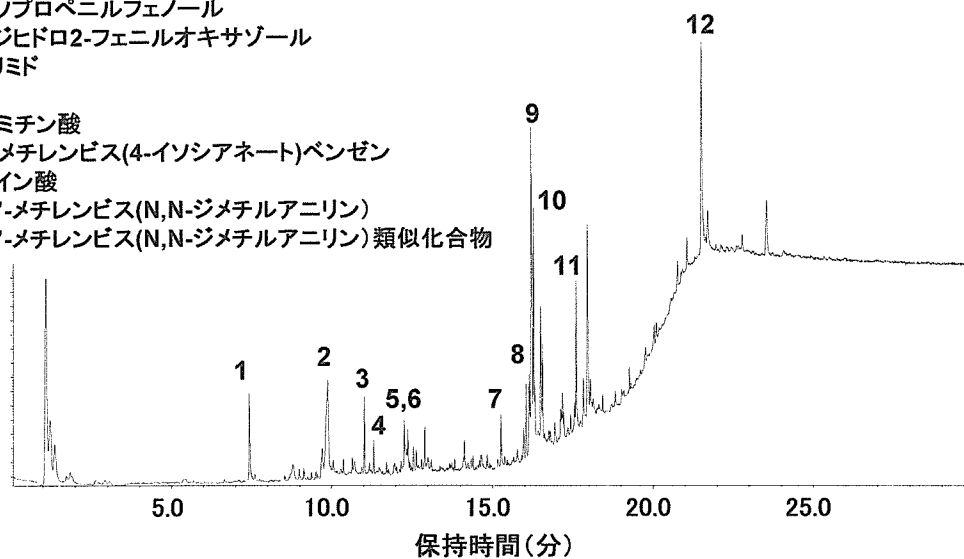


図 28 パンケーキ焼型のPy-GC/MSトータルイオンクロマトグラム

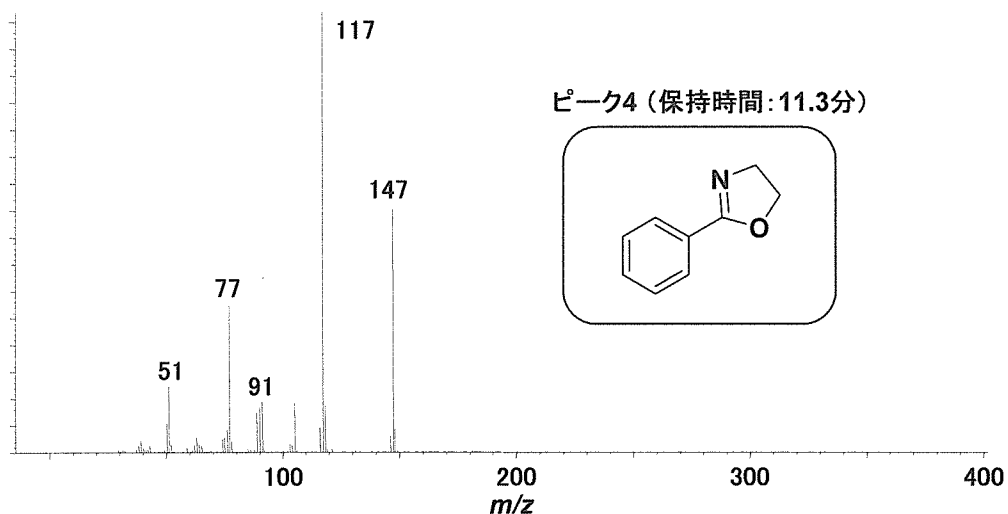


図 28a 4,5-ジヒドロ2-フェニルオキサゾールのマススペクトル

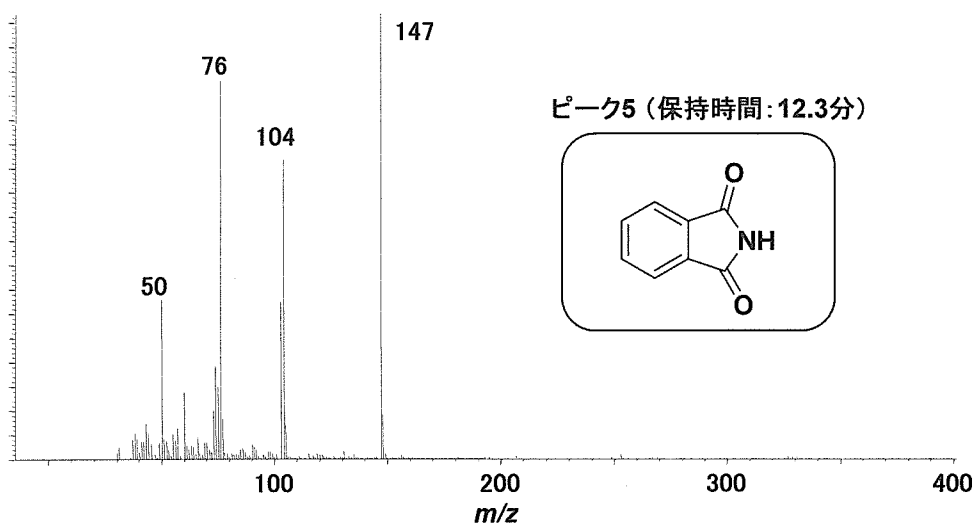


図 28b フタリミドのマススペクトル



ピーク8 (保持時間: 16.2分)

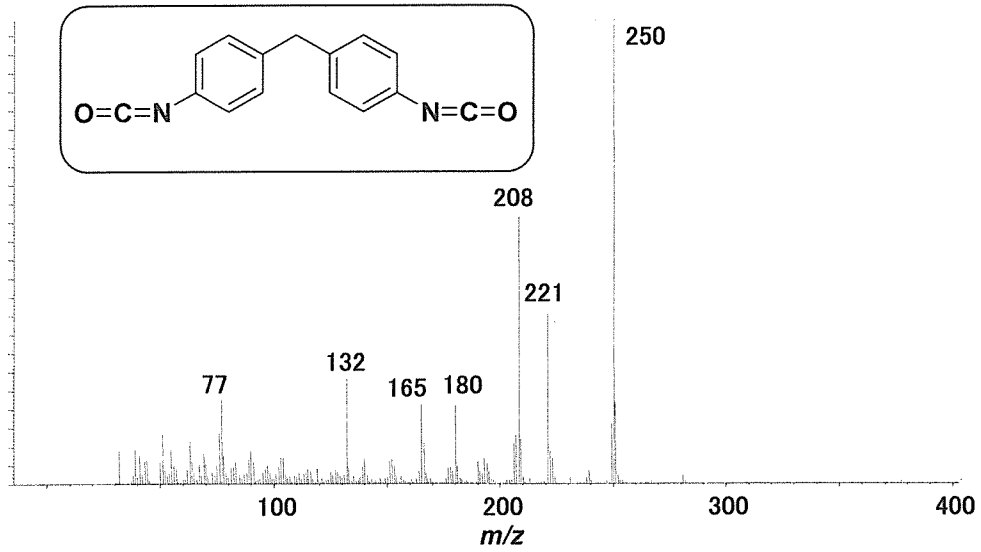


図28c 1,1'-メチレンビス(4-イソシアネート)ベンゼンのマススペクトル

ピーク9 (保持時間: 16.2分)

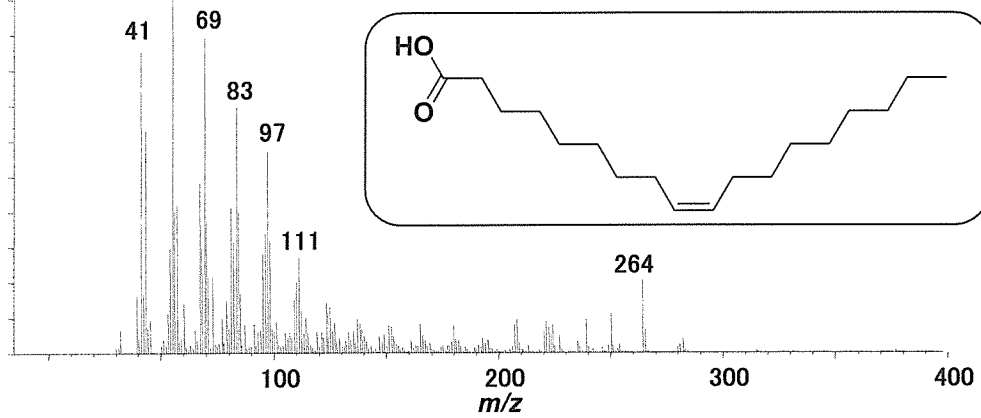


図 28d オレイン酸のマススペクトル

ピーク10 (保持時間: 16.3分)

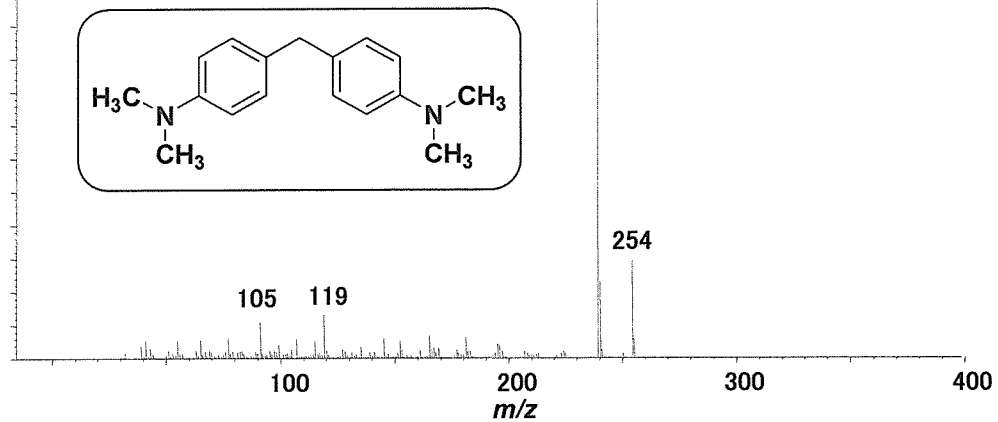


図 28e 4,4'-メチレンビス(N,N-ジメチルアニリン)のマススペクトル

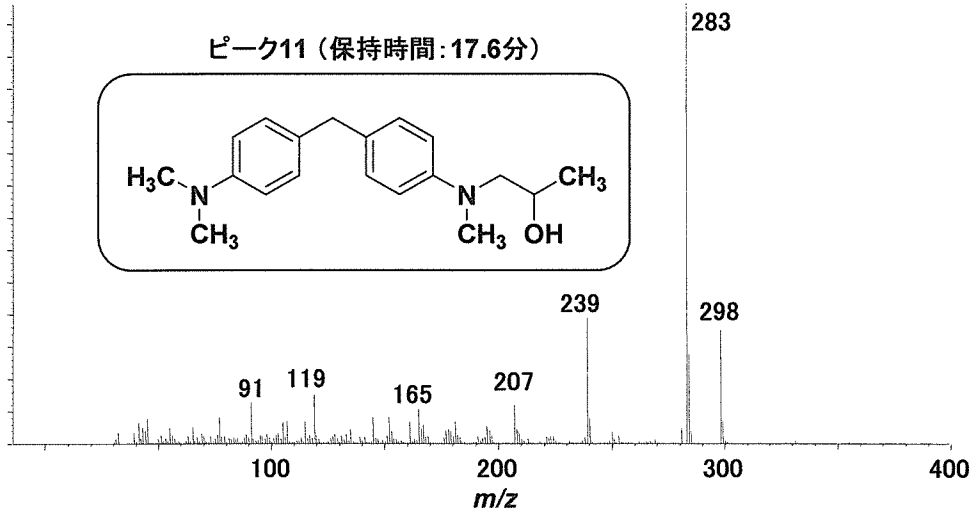


図 28f 4,4'-メチレンビス(N,N-ジメチルアニリン)誘導体のマススペクトル

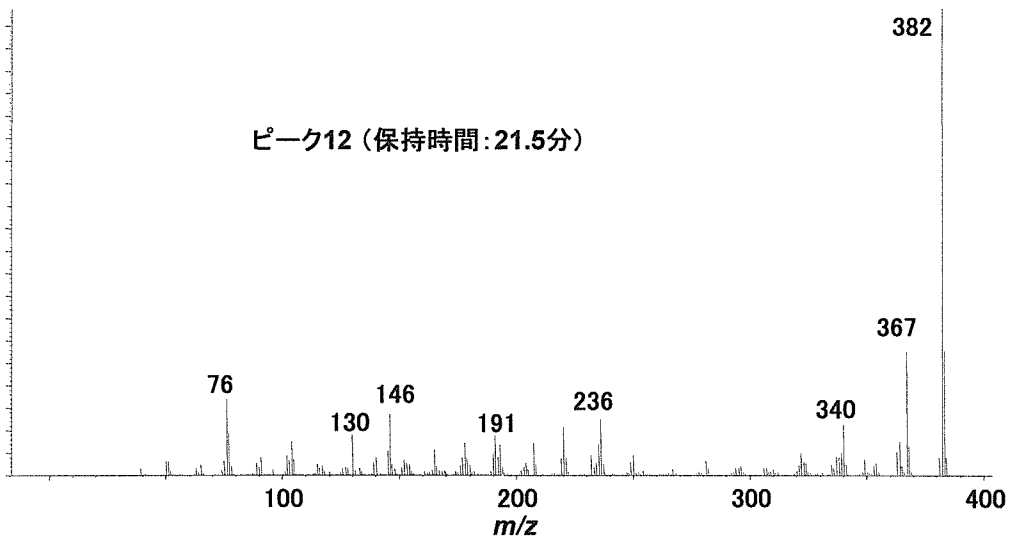


図 28g 未知化合物のマススペクトル

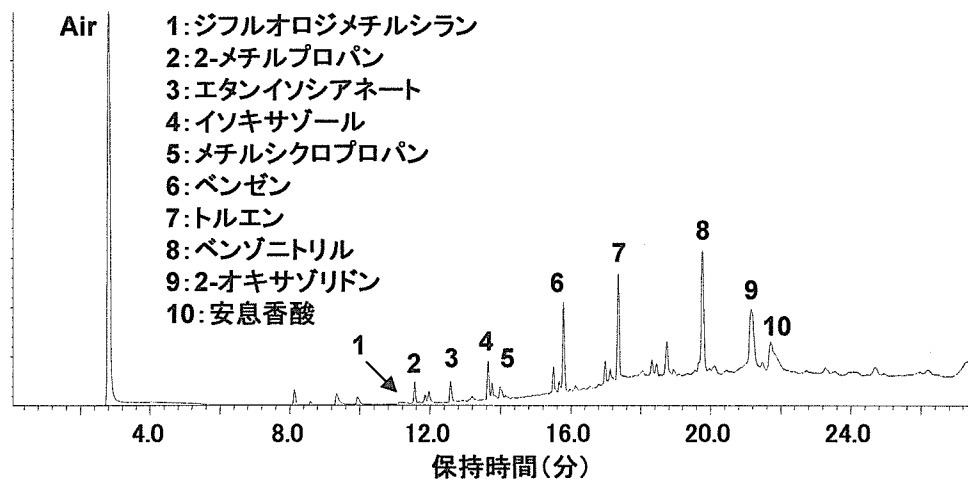


図 29 パンケーキ焼型の低分子条件Py-GC/MS/トータルイオンクロマトグラム

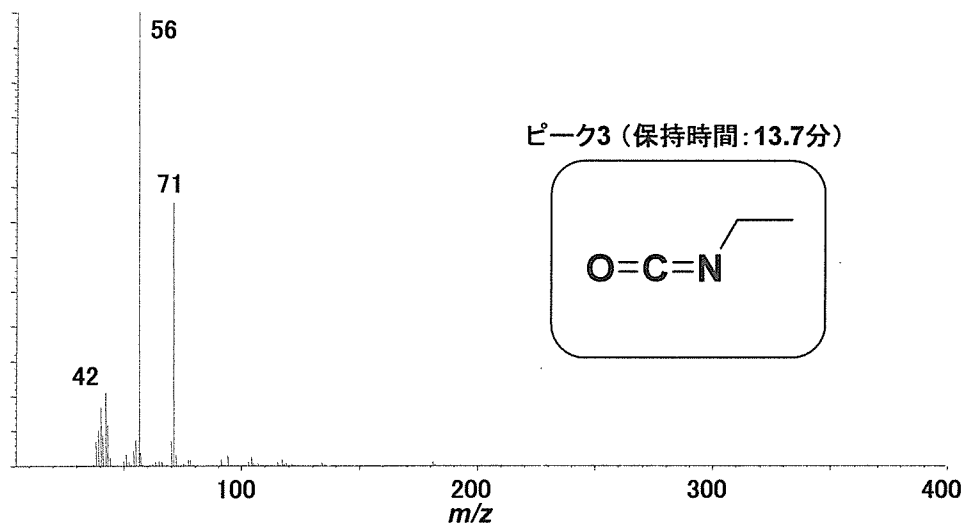


図 29a エタンイソシアネートのマススペクトル

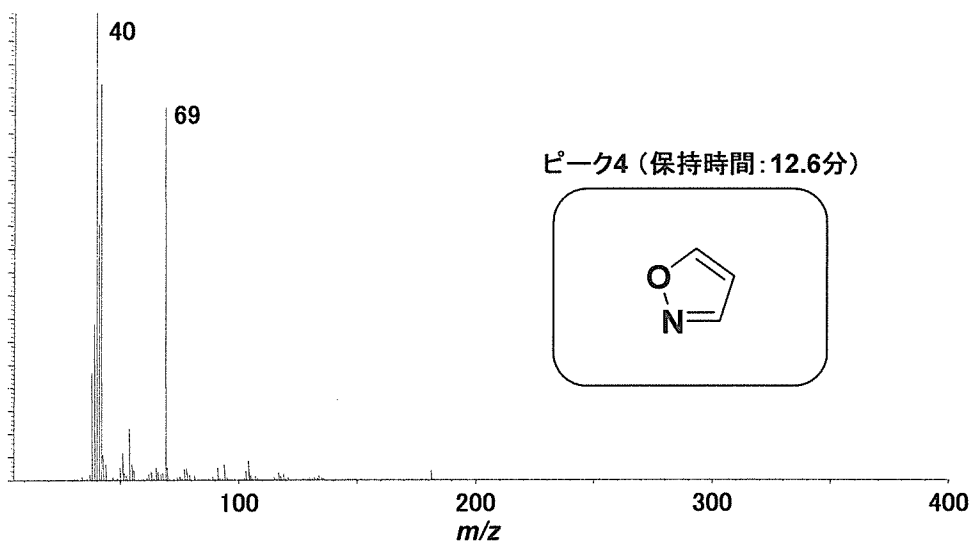


図 29b イソキサゾールのマススペクトル

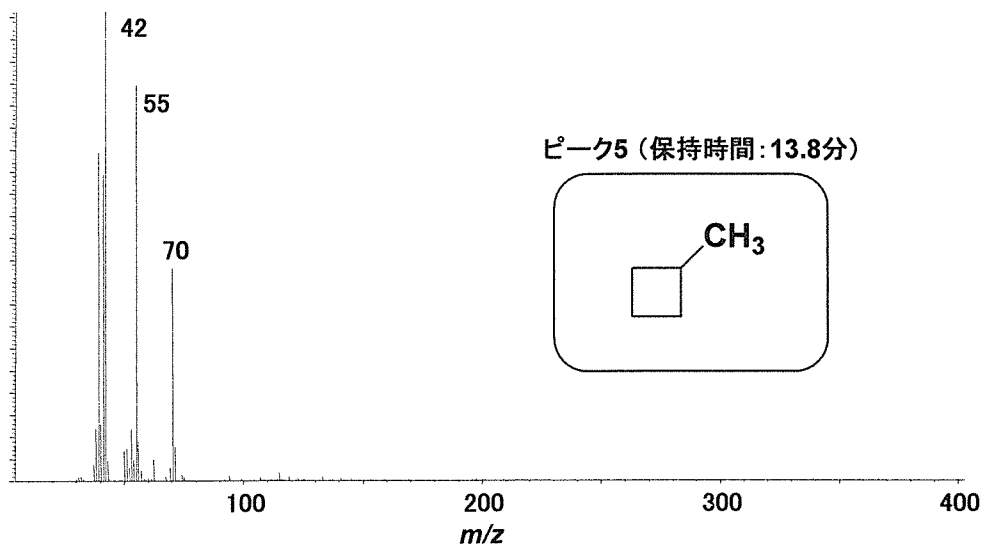


図 29c メチルシクロプロパンのマススペクトル

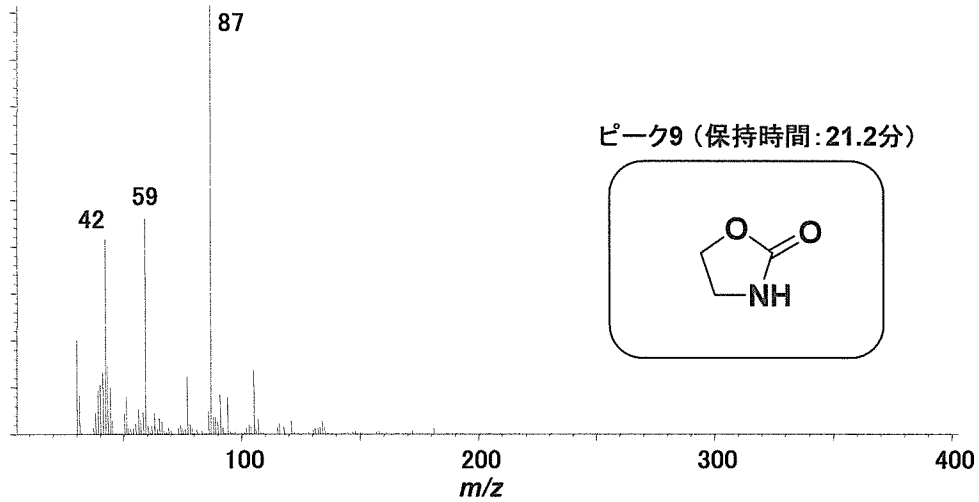


図 29d 2-オキサゾリドンのマススペクトル

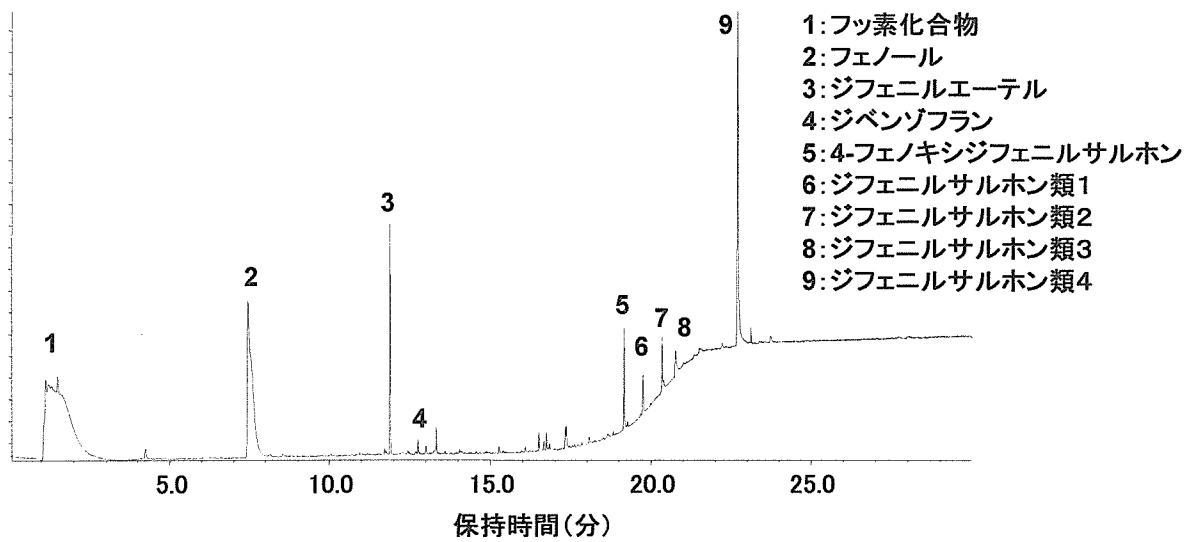


図 30 目玉焼焼型2 のPy-GC/MS/トータルイオンクロマトグラム

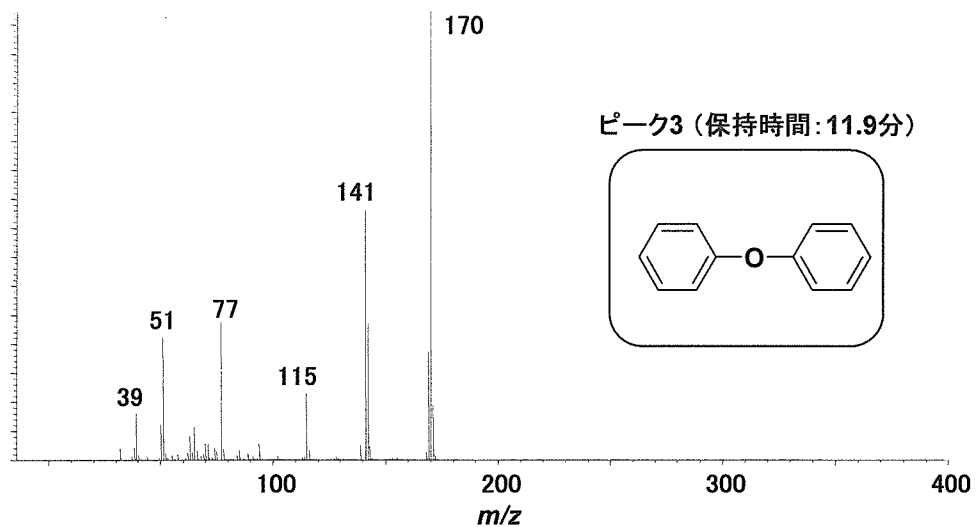


図 30a ジフェニルエーテルのマススペクトル

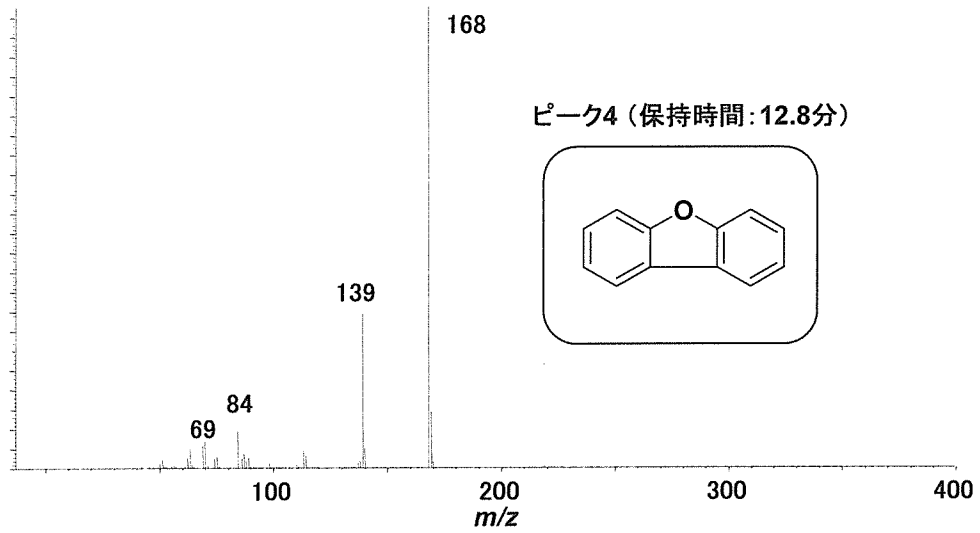


図 30b ジベンゾフランのマススペクトル

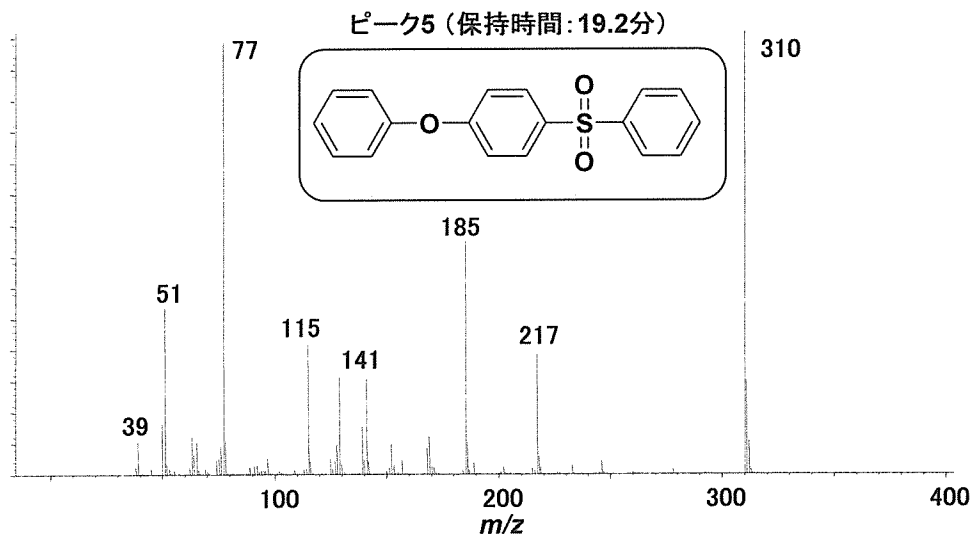


図 30c 4-フェノキシジフェニルサルホンのマススペクトル

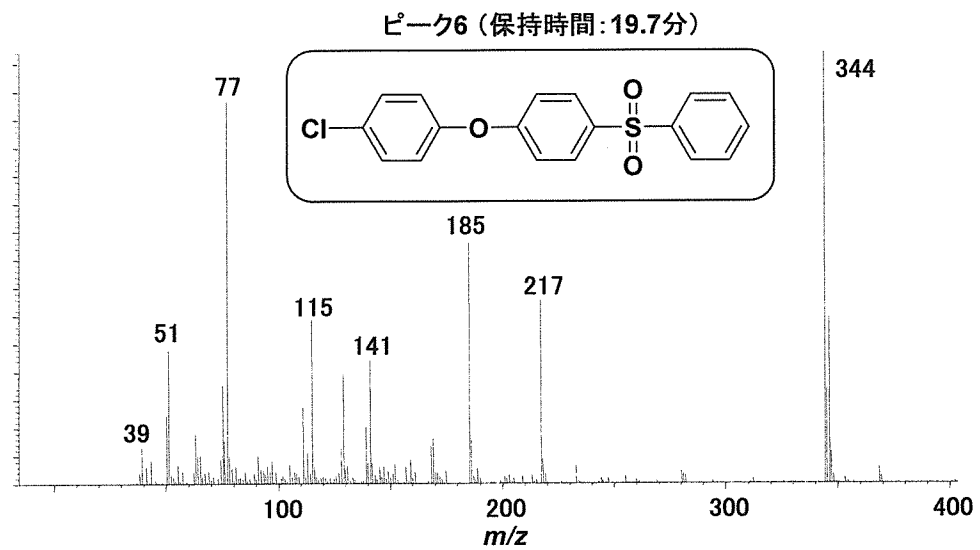


図 30d 4-フェノキシジフェニルサルホン類1のマススペクトル

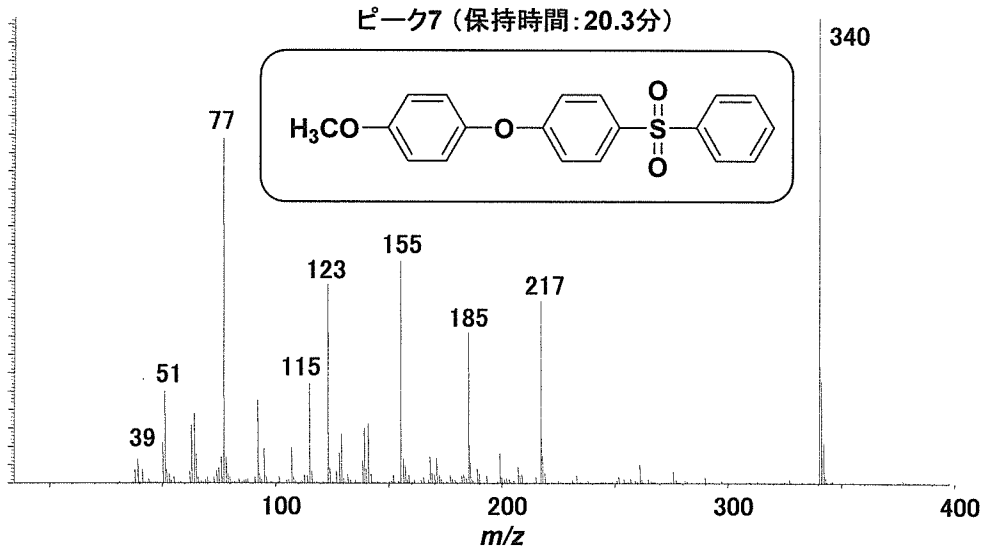


図 30e 4-フェノキシジフェニルサルホン類2 のマススペクトル

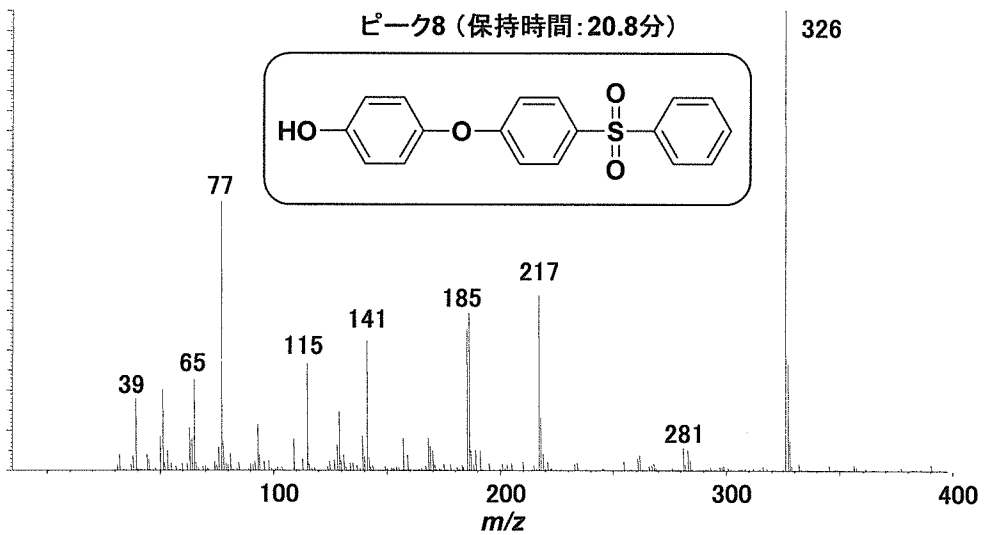


図 30f 4-フェノキシジフェニルサルホン類3 のマススペクトル

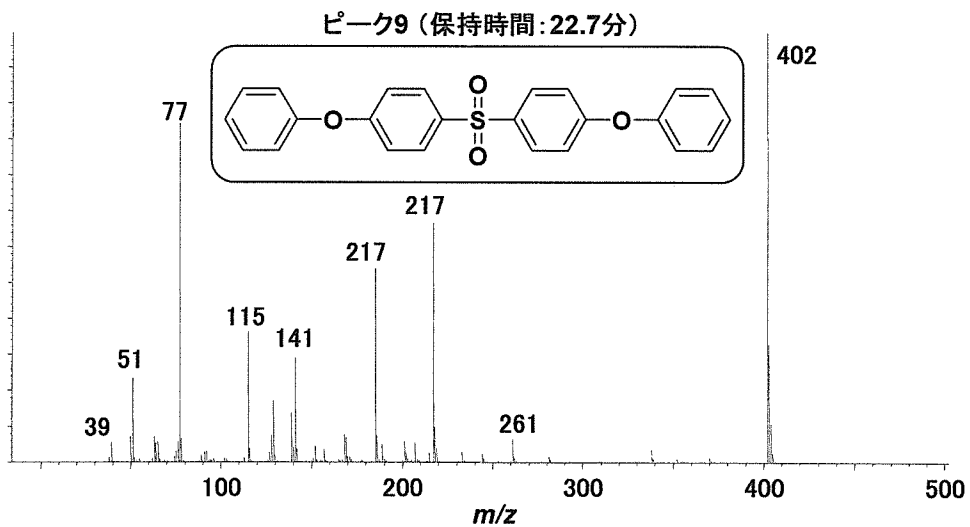


図 30g 4-フェノキシジフェニルサルホン類4 のマススペクトル

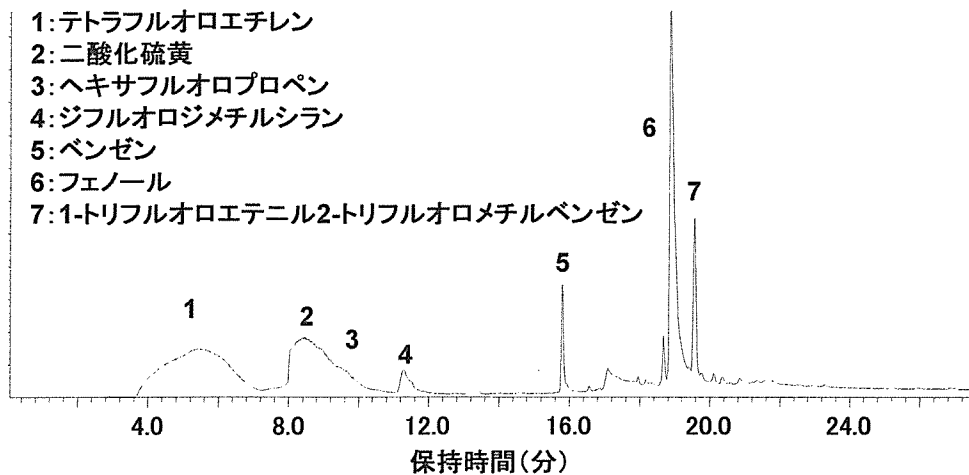


図 31 目玉焼焼型2 の低分子条件Py-GC/MS/トータルイオンクロマトグラム

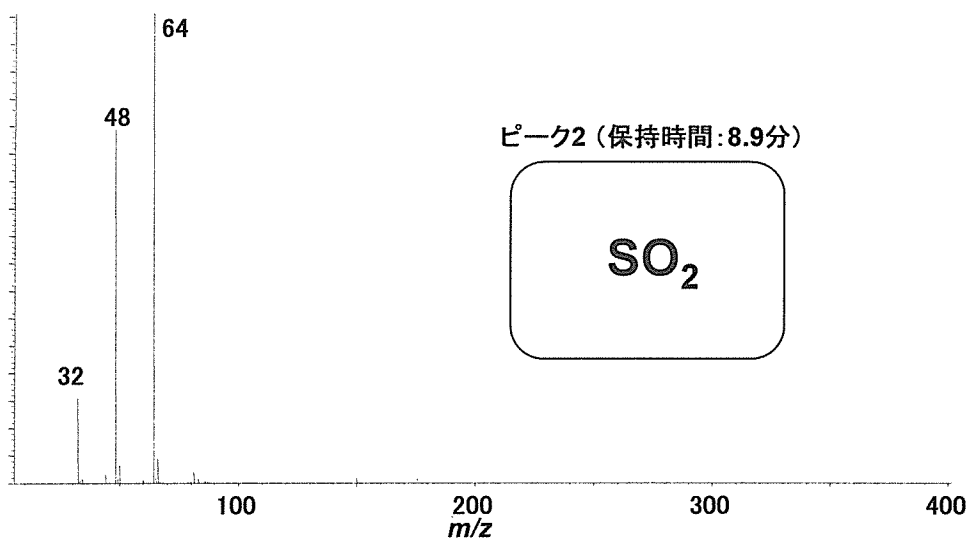


図 31a 二酸化硫黄のマススペクトル

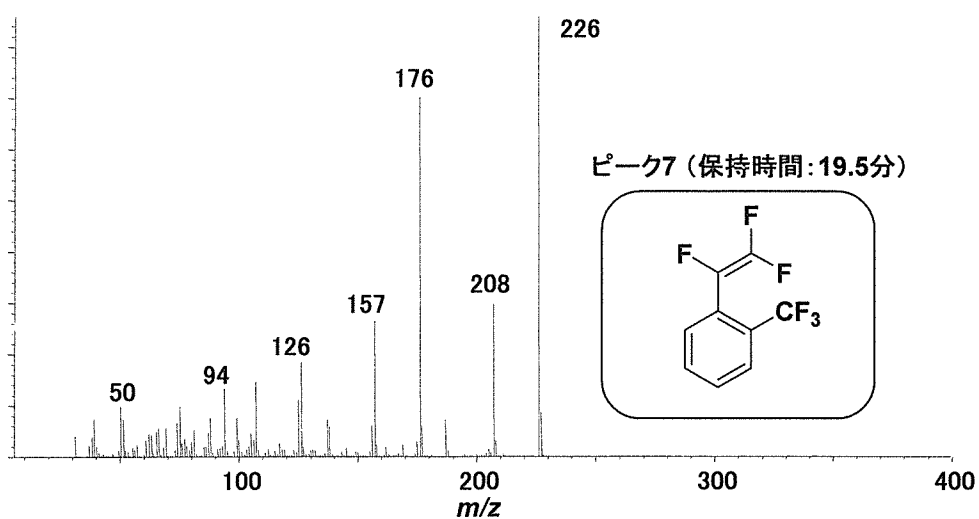


図 31b 1-トリフルオロエチニル2-トリフルオロメチルベンゼンのマススペクトル

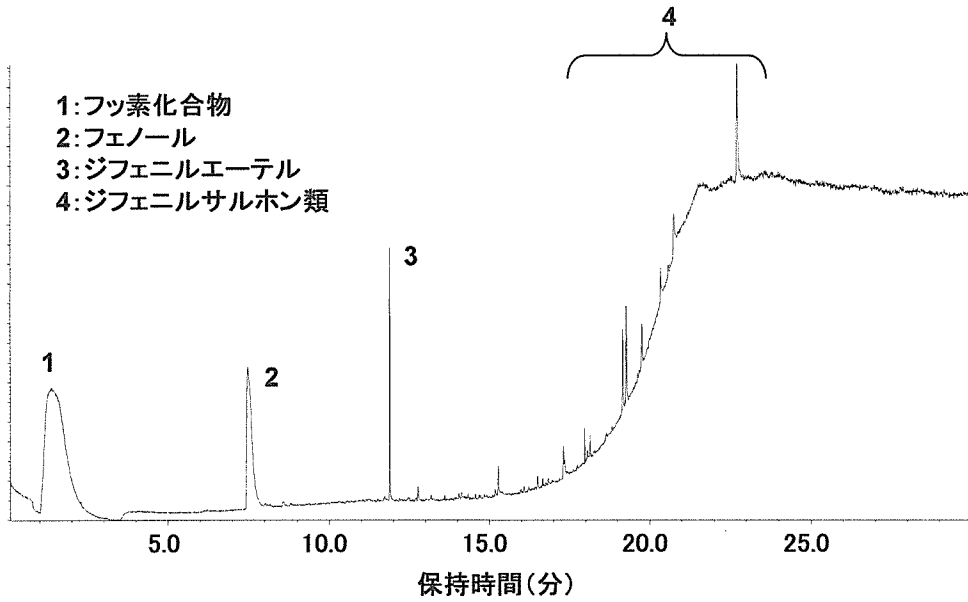


図 32 プリンカップ1 のPy-GC/MS/トータルイオンクロマトグラム

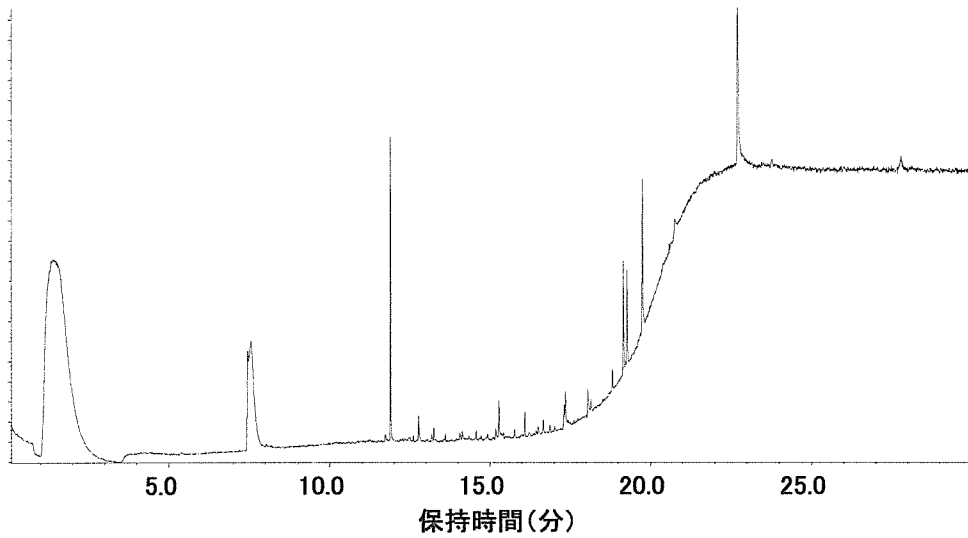


図 33 クッキー焼型のPy-GC/MS/トータルイオンクロマトグラム

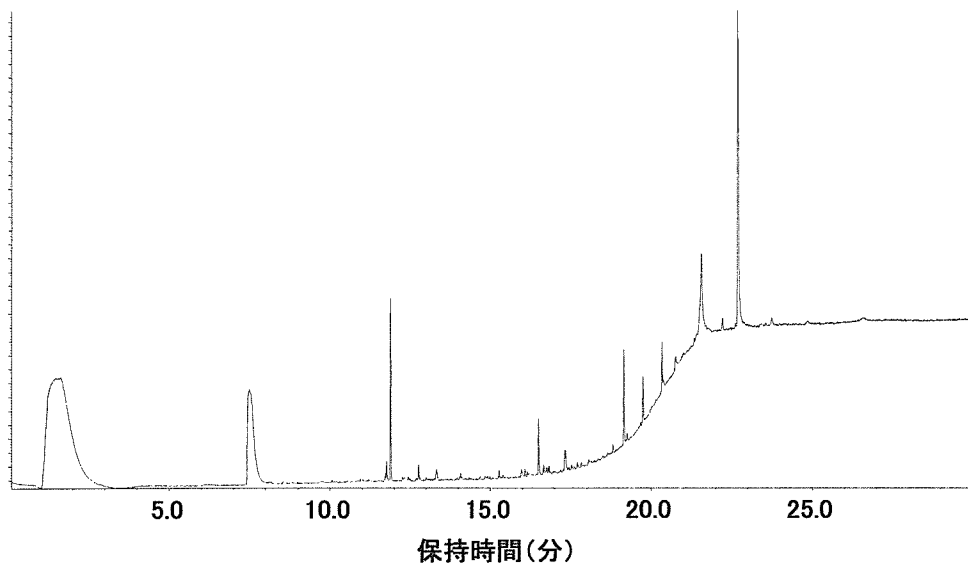


図 34 オイルポットのPy-GC/MS/トータルイオンクロマトグラム



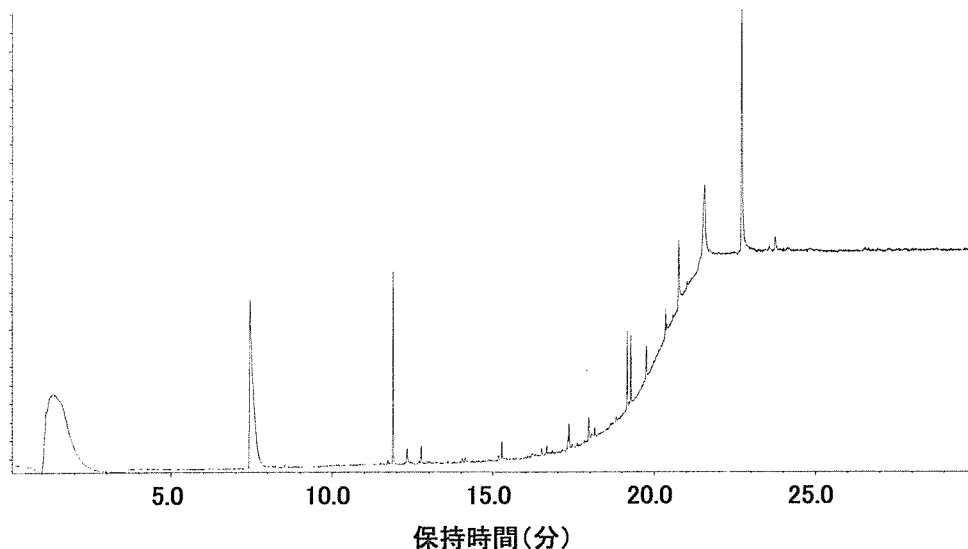


図 35 クッキングプレートのPy-GC/MS/トータルイオンクロマトグラム

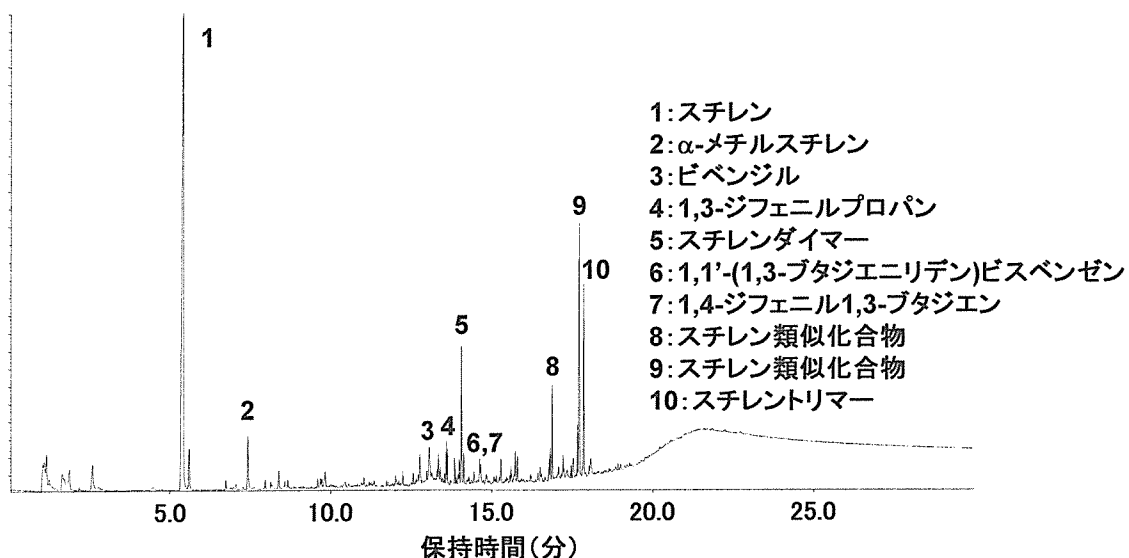


図 36 プリンカップ2 のPy-GC/MS/トータルイオンクロマトグラム

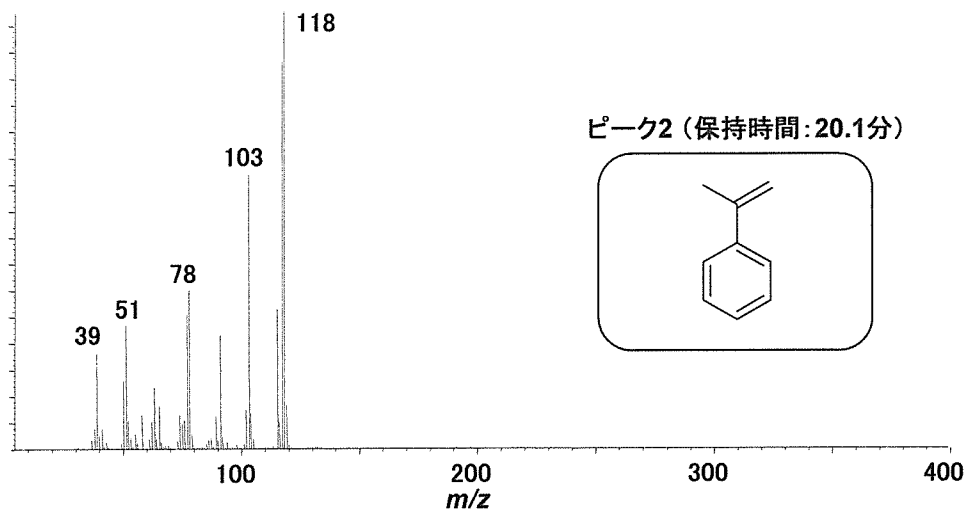


図 36a α-メチルスチレンのマススペクトル

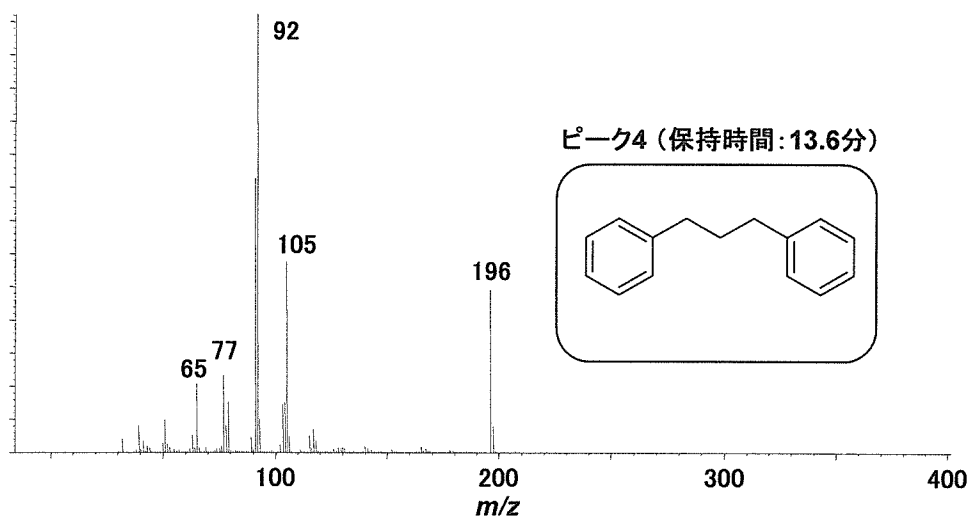


図 36b 1,3-ジフェニルプロパンのマススペクトル

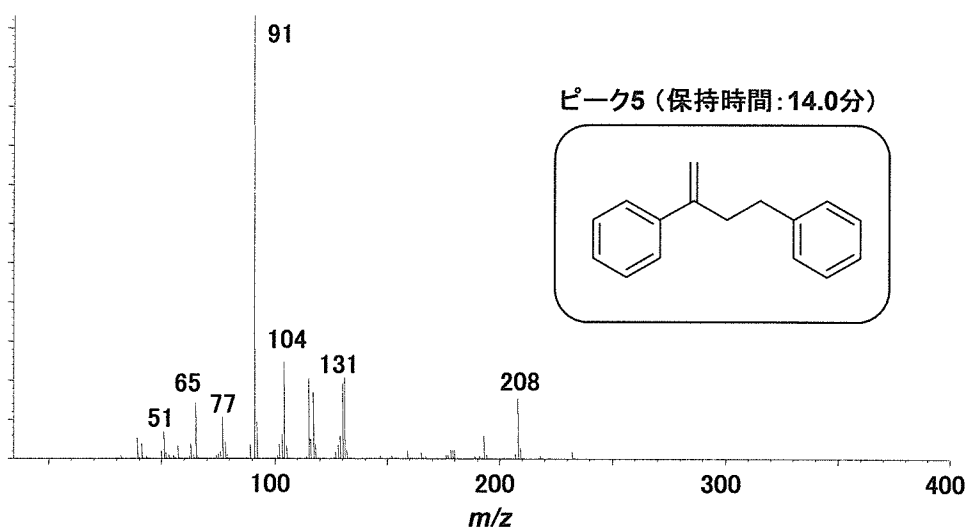


図 36c スチレンダイマーのマススペクトル

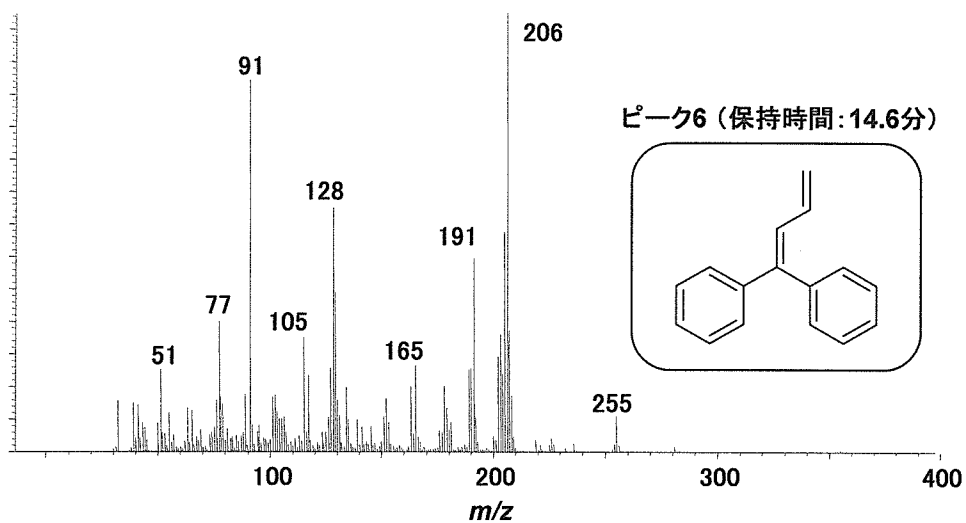


図 36d 1,1'-(1,3-ブタジエニリデン)ビスベンゼンのマススペクトル

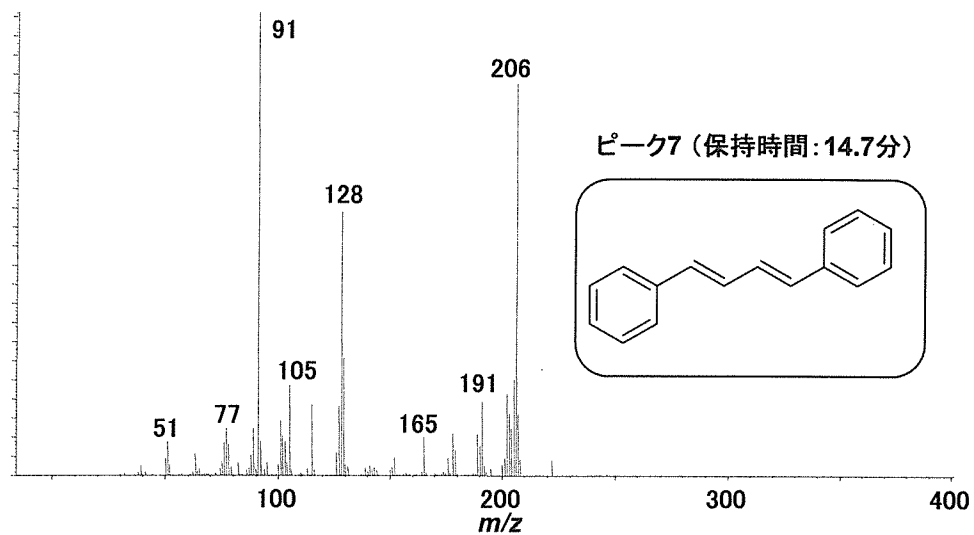


図 36e 1,4-ジフェニル1,3-ブタジエンのマススペクトル

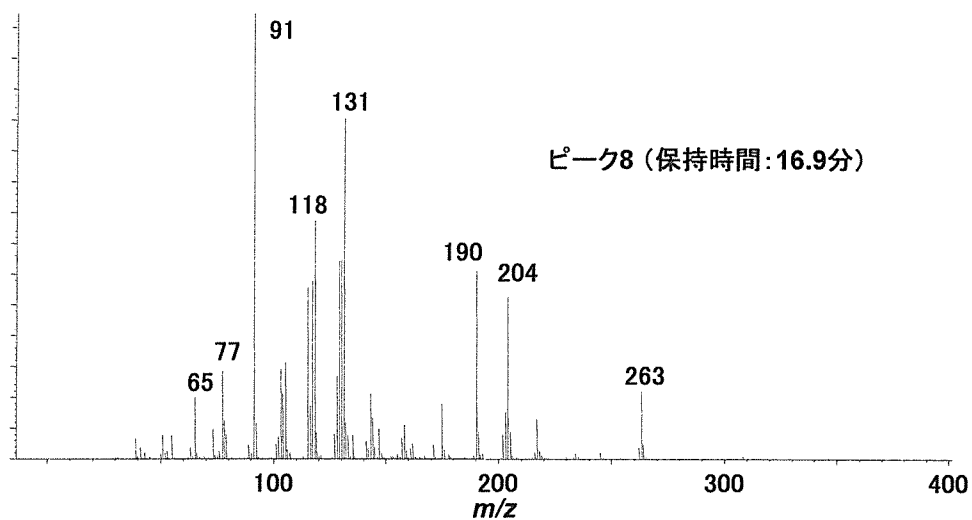


図 36f スチレン類似化合物1 のマススペクトル

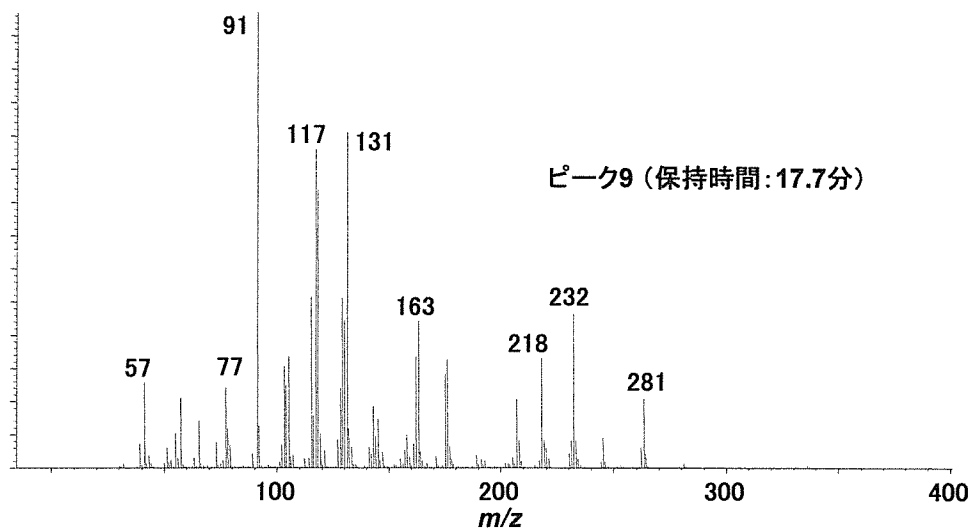


図 36g スチレン類似化合物2 のマススペクトル

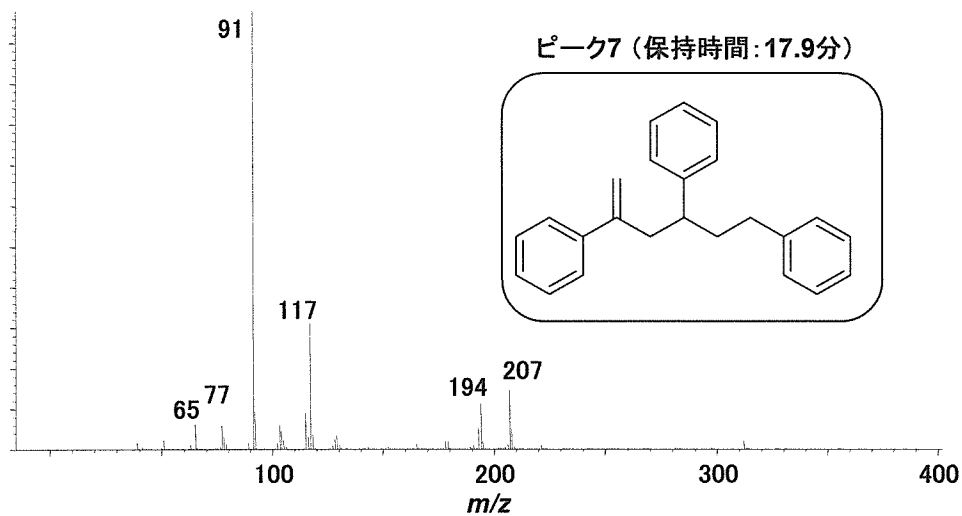


図 36h スチレントリマーのマススペクトル

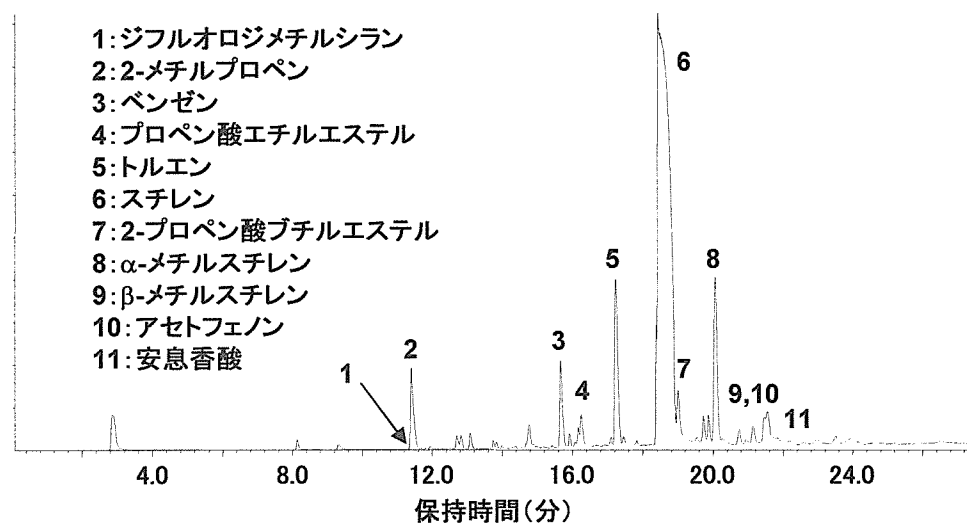


図 37 プリンカップ2 の低分子条件Py-GC/MSトータルイオンクロマトグラム

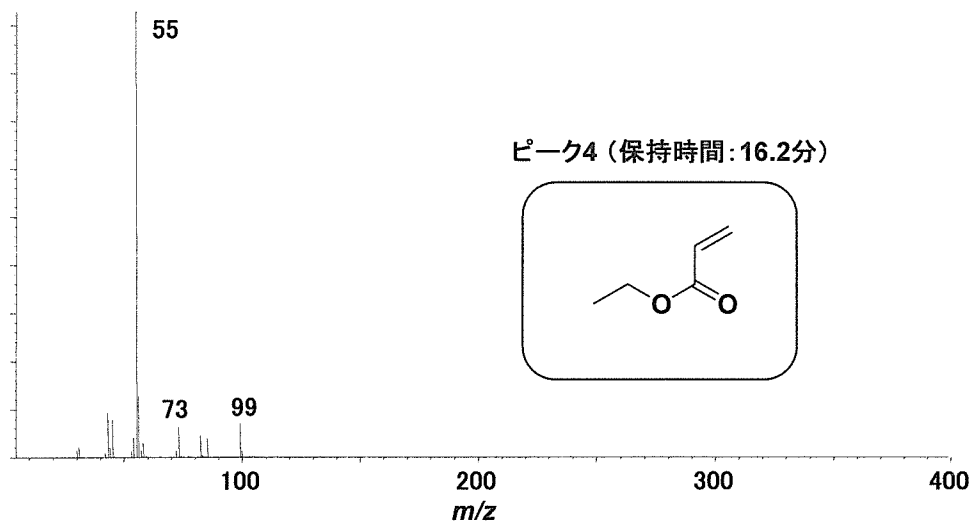


図 37a プロペン酸エチルエステルのマススペクトル